

МИКРОСКОПИЧЕСКИЕ ОСОБЕННОСТИ ДИПОЛЬНОГО МЕХАНИЗМА ЯДЕРНОЙ СПИНОВОЙ РЕЛАКСАЦИИ В ЖИДКОСТЯХ

THE MICROSCOPIC FEATURES OF THE DIPOLE MECHANISM OF THE
NUCLEAR SPIN RELAXATION IN LIQUIDS

Р. М. Юльметьев

Кафедра теоретической физики, физико-математический факультет, Казанский педагогический институт*

(Поступила в редакцию 15-го февраля 1980 г.; переработана версия поступила 30-го мая 1980 г.)

A new, microscopic approach in the theory of dipole-dipole magnetic relaxation of nuclear spins in liquids has been developed on the basis of the fundamental Bogoliubov idea about the hierarchy of relaxation times.

PACS numbers: 05.20.Dd, 61.20.Lc, 76.90.+d

1. Введение

Динамические и кинетические параметры, описывающие обратимые и необратимые процессы в спиновых системах определяются, в основном, спин-спиновыми и спин-решеточными взаимодействиями и специфическими особенностями теплового движения частиц в макроскопическом резервуаре. Теория релаксационных явлений в ядерных спиновых системах зачастую строится на основе кинетических уравнений типа Блоха, Вангнесса-Блоха, Редфилда, Кубо-Томита, Хаббарда. Обычно движение молекул или их фрагментов такой теории описывается феноменологическими моделями (поступательной или вращательной плавной или прыжковой, скачкообразной диффузией, броуновской частицы и т.д.). Однако эти модели недостаточно обоснованы, и используемые параметры не отражают физических особенностей молекулярных процессов, проявляющихся в ядерной спиновой релаксации. Поэтому актуальной является задача микроскопического описания ЯМР-релаксации в жидкостях.

* Address: Department of Theoretical Physics, Kazan State Pedagogical Institute, Meglauk Street 1, 420021 Kazan, USSR.

Для выявления микроскопических особенностей дипольного механизма ЯМР-релаксации в жидкостях в настоящей работе применяется фундаментальная идея Н. Н. Боголюбова об иерархии времен релаксации в динамической системе [1].

Общая теория спиновых релаксационных процессов в жидкостях на основе этой идеи Н. Н. Боголюбова развита нами в [2].

В п. 2 настоящей работы анализируются эффекты межмолекулярных потенциальных взаимодействий. Затем, в п. 3 на примере простейшей системы — модели жестких непроницаемых шаров исследуется роль равновесной молекулярной структуры.

В п. 4 развитая теория сравнивается с экспериментом и приводятся окончательные выводы и заключения.

2. Влияние межмолекулярных потенциальных взаимодействий на скорости релаксации

В настоящей работе рассматривается ЯМР-релаксация, обусловленная межмолекулярными магнитными диполь-дипольными взаимодействиями ядерных спинов в жидкости. Для случая $\tau_c \ll T_2$ для скоростей релаксации имеем [2, 3]

$$\begin{aligned} T_1^{-1} &= \frac{8\pi}{5} \gamma^4 \hbar^2 I(I+1) \{J_1(\omega_0) + 4J_2(2\omega_0)\}, \\ T_2^{-1} &= \frac{4\pi}{5} \gamma^4 \hbar^2 I(I+1) \{3J_0(0) + 5J_1(\omega_0) + 2J_2(2\omega_0)\}, \end{aligned} \quad (2.1)$$

где, согласно [2, 3], обозначено

$$\begin{aligned} J_n(\omega) &= \operatorname{Re} \int_0^\infty dt e^{i\omega t} f_n(t), \quad f_n(t) = \left\langle \sum_{j=1}^N \mathcal{F}_n^*(i, j) e^{i\hat{\mathcal{Q}}_F t} \mathcal{F}_n(i, j) \right\rangle, \\ \mathcal{F}_n(i, j) &= r_{ij}^{-3} Y_2^n(\vartheta_{ij}, \varphi_{ij}), \end{aligned} \quad (2.2)$$

$\hat{\mathcal{Q}}_F$ — лиувиллиан жидкости, γ — гиромагнитное отношение, \hbar — постоянная Планка, r_{ij} — радиус-вектор, соединяющий спины i -ой и j -ой молекулы, Y_2^n — гармонические сферические функции.

В пределе быстрого теплового движения ($\omega_0 \tau_c \ll 1$, где ω_0 — резонансная частота, а τ_c — время корреляции) для взаимодействия спинов разных сортов (i и f) аналогично (2.1) получаем [2, 3]

$$T_{1i}^{-1} = T_{2i}^{-1} = \frac{16\pi}{15} \gamma_i^2 \gamma_f^2 \hbar^2 I_f(I_f+1) \{J_1(0) + 4J_2(0)\}. \quad (2.3)$$

Здесь индексом i отмечены спины данного, а f — другого сорта.

Для времени корреляции τ_c , согласно [2], имеем

$$\tau_c = \lim_{\omega_0 \rightarrow 0} \tilde{f}(i\omega_0) = (\tau_p \omega_p)^{-1} = \frac{1}{2D_s} \frac{\langle |\mathcal{F}_n(i, j)|^2 \rangle}{\langle |\nabla_{ij} \mathcal{F}_n(i, j)|^2 \rangle}. \quad (2.4)$$

Из (2.4) следует $\tau_c \sim \tau_p^{-1}$ и $\tau_c \sim D_s^{-1}$. Время τ_c существенно зависит от характера изменения с расстоянием „решеточной“ части диполь-дипольного взаимодействия. Действительно, обычная диффузионная модель [3] даёт $\tau_c = \alpha^2/2D_s$, где α — размер молекул. Из (2.4) можно ввести корреляционную длину R_c соотношением

$$\tau_c = \frac{R_c^2}{2D_s}, \quad R_c^2 = \frac{\langle |\mathcal{F}_n(i, j)|^2 \rangle}{\langle |\nabla_{ij}\mathcal{F}_n(i, j)|^2 \rangle}. \quad (2.5)$$

Для решеточной функции $\mathcal{F}_n(i, j) = r_{ij}^{-l} Y_{l-1}^{(n)}(\vartheta_{ij}, \varphi_{ij})$ из (2.4), (2.5), используя интегральную теорему Грина и вводя радиальную функцию распределения (РФР), находим

$$R_c^2 = \frac{K_B T}{l} \frac{\int_0^\infty dr g(r) r^{-(2l-2)}}{\int_0^\infty dr g(r) [-u'(r)] r^{-(2l-1)}}. \quad (2.6)$$

Из (2.6) видно, что наибольший вклад в формирование параметров τ_c, R_c дают межмолекулярные силы отталкивания ($u'(r) < 0$), кроме того в τ_c проявляется зависимость от ранга тензора спин-решеточного взаимодействия (число $(l-1)$). Формула (2.6) записана для сферически-симметричного случая. Её нетрудно обобщить на случай несферического потенциала и двухчастичной функции распределения, зависящей от ориентации двух взаимодействующих молекул.

3. Роль равновесной структуры жидкости в дипольной релаксации ядер

Как следует из (2.6), корреляционная длина R_c существенно зависит от деталей поведения межмолекулярных сил отталкивания. Вычисление корреляционных параметров R_c и τ_c наталкивается на трудности, связанные с такими важнейшими проблемами молекулярной физики жидкостей, как установление точного вида межмолекулярного потенциала $u(r)$ и РФР $g(r)$. Для конкретности рассмотрим модельную систему твердых непроницаемых шаров. Аналитическое решение уравнения Перкуса-Йевика для РФР для потенциала твердых сфер было найдено Верхеймом [5] и Сиэлем [6] (см. также [7]).

В указанных работах получено следующее решение для РФР молекул диаметра D

$$0 \leq r < D, \quad g(r) = \exp \{-u(r)/K_B T\} \varphi(r), \quad (3.1)$$

$$\left. \begin{array}{ll} D < r < 2D, & g(r) = g_1(r), \\ 2D < r < 3D, & g(r) = g_1(r) + g_2(r), \\ 3D < r < 4D, & g(r) = g_1(r) + g_2(r) + g_3(r) \end{array} \right\} \quad (3.2)$$

Для систем с разрывным потенциалом особенно важно поведение $g(r)$ вблизи точек разрыва. Оно передаётся функцией $\varphi(r)$ [5—7]

$$\begin{aligned}\varphi(r) &= ax^2 + bx^2 + cx^4, \quad x = r/D, \\ a &= \frac{(1+2\eta)^2}{(1-\eta)^4}, \quad b = -3\eta \frac{(2+\eta)^2}{(1-\eta)^4}, \quad c = \frac{\eta(1+2\eta)^2}{(1-\eta)^4}.\end{aligned}\quad (3.3)$$

С учетом (3.1)—(3.3) для корреляционного параметра в случае диполь-дипольных взаимодействий ($l = 3$) в модели твёрдых сфер получаем

$$\begin{aligned}R_c^2 &= \frac{2}{3} D^2 \frac{(1-\eta)^2}{1+\frac{1}{2}\eta} G(n), \quad nD^{-3}G(n) = \left\langle \sum_{j(\neq i)}^N |Y_2^m(\theta_{ij}, \varphi_{ij})r_{ij}^{-3}|^2 \right\rangle, \\ G(n) &= \int_0^\infty dx g(xD)x^{-4}, \quad x = r/D.\end{aligned}\quad (3.4)$$

Используя (3.4), в случае быстрого теплового движения для диполь-дипольного взаимодействия одинаковых спинов получаем

$$T_1^{-1} = T_2^{-1} = \frac{8\pi}{3} \gamma^4 \hbar^2 I(I+1)n_I \frac{(1-\eta)^2}{1+\frac{1}{2}\eta} \{G(n)\}^2 (DD_s)^{-1}, \quad (3.5)$$

где n_I — число спинов в единице объёма жидкости. Вклад в скорости дипольной релаксации спинов разных сортов при условии, что временные корреляции их молекул происходят одинаково, в соответствии с (2.3), (3.4) равен

$$T_{1i}^{-1} = T_{2i}^{-1} = \frac{16\pi}{9} \gamma_i^2 \gamma_f^2 \hbar^2 I_f(I_f+1)n_f \frac{(1-\eta_f)^2}{1+\frac{1}{2}\eta_f} \{G(n_f)\}^2 (DD_s)^{-1}. \quad (3.6)$$

Скорости релаксации линейно зависят от плотности молекул $T_1^{-1} = T_2^{-1} \sim n_I, n_f$, дополнительная зависимость от плотности содержится в структурных множителях

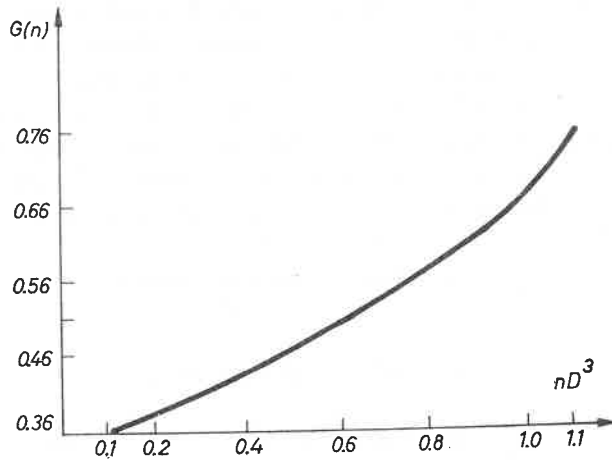


Рис. 1. Зависимость интеграла $G(n) = \int_0^\infty dx x^{-4} g(xD)$ от безразмерной плотности nD^3 в модели непроницаемых твёрдых шаров ($x = r/D$)

$(1-\eta)^2/(1+\frac{1}{2}\eta)$ и интеграле $G(n)$. Последний найден нами численно при разных значениях плотности с помощью численных значений РФР $g(r)$, взятых из работ [76], данные представлены на рис. 1. В предельном случае $n \rightarrow 0$ (разреженный газ) РФР становится ступенчатой функцией: $g(r) = H(r-D)$, где $H(r) = 0$ для $r < 0$ и $H(r) = 1$ для $r \geq 0$. В этом пределе $G(n) = 1/3$. При изменении безразмерной плотности nD^3 от 0 до 1,1 интеграл $G(n)$ возрастает в 2,29 раза. Данные оценки указывают на большую роль плотностных эффектов микроструктуры

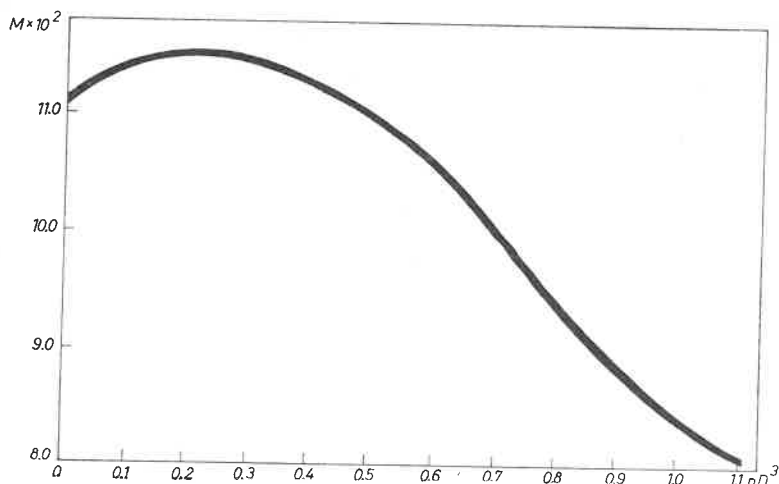


Рис. 2. Зависимость величины $M = \frac{(1-\eta)^2}{1+\frac{1}{2}\eta} G^2(n)$ от безразмерной плотности nD^3 в модели твёрдых непроницаемых шаров

жидкости. На рис. 2 представлена зависимость фактора $M = \{(1-\eta)^2/(1+\frac{1}{2}\eta)\}G^2(n)$ от плотности. С ростом n фактор M сначала медленно возрастает, а затем плавно убывает — в 1,41 раза при изменении nD^3 от 0,2 до 1,1.

Интересно сопоставить (3.5), (3.6) с результатами работы [19б], в которой влияние потенциальных взаимодействий на T_1^{-1} и T_2^{-1} рассматривалось с помощью модельного уравнения Смолуховского и потенциала средних сил. К сожалению, в [19б] не найдено аналитического выражения для скоростей релаксации, в котором была бы выявлена роль потенциала. Применение в [19б] конечно-разностного решения уравнения для спектральной плотности использовано лишь для анализа частотной зависимости, что, в противоположность рассматриваемой ситуации, соответствует случаю сильновязких жидкостей. Укажем, что полученное для дипольных взаимодействий при $\omega_0 = 0$ аналитическое решение (A15) в [19б] совпадает с результатом Хаббарда [16б] для независимой диффузии.

В отличие от феноменологического подхода в [16, 19] наши результаты (3.5), (3.6) являются действительно микроскопическими. В них детально учтены эффекты молекулярной структуры и межчастичных потенциальных взаимодействий в скоростях ЯМР-релаксации.

4. Сравнение с экспериментом

Сравнение данной теории с экспериментальными данными по измерениям скоростей релаксации проведём на примере релаксации протонов. Наши оценки выполнены для молекул, форма которых наиболее близка к сферической. Рассмотрены жидкий метан и его галоидные производные (йодистый метил и йодистый метилен), этан и ацетон. Полученные результаты сведены в таблицы I—III. Экспериментальные значения скорости ядерной релаксации T_1^{-1} , молекулярной и спиновой плотности, коэффициента самодиффузии взяты из работ [8—20]. Значения диаметра молекул d найдены на основе диффузационной модели плавных и скачкообразных [3, 15] перемещений и вычислены из условия гексагональной плотной упаковки жёстких сфер $\pi d^3 N_a / 6 = 0,74 V_m$, где V_m — молярный объём, N_a — число Авогадро. Отметим, что эти значения d заметно зависят от температуры, что противоречит физическому смыслу.

Известная поправка Хаббарда [16] на нецентральность расположения ядер в молекуле, оцененная из экспериментальных параметров [8, 10—12], значительно меньше точности эксперимента. Поэтому ею можно пренебречь.

Численные оценки различных релаксационных параметров, приведенные в таблицах I—III, свидетельствуют о хорошем согласии настоящей теории с опытом. Вычисленные значения T_1 согласуются с опытом намного лучше, чем в любом варианте диффузационной теории. Найденные значения корреляционной длины R_c заметно меньше „диффузационного“ диаметра молекул d . Так как структурный фактор $M(\eta)$ в области нормальных давлений чрезвычайно слабо зависит от плотности, для модели твердых шаров величина D имеет смысл расстояния наибольшего сближения релаксирующих протонов. Длина R_c представляет собой расстояние, на которое отдельные молекулы жидкости передвигаются за время корреляции τ_c .

Особо следует остановиться на экспериментальных данных по этану (см. таблицу III). Вблизи точки 270 К нарушается критерий применимости импульсного приближения (при этом выполняется условие $\tau_p > \omega_f^{-1} > \tau_c$). В этом случае справедливо корреляционное приближение (см. [2]), применение которого заметно улучшает согласие теории с опытом. Зарегистрированное в этом интервале температур большое значение $D_s = 2,17 \cdot 10^{-4} \text{ см}^2/\text{сек}$ согласуется с такой физической картиной релаксации: релаксационный эффект вызывается тепловым пробегом молекул на расстояние корреляционной длины $R_c = \tau_c v_0$, где $v_0 = \sqrt{\frac{2K_B T}{m}}$. Импульсы молекул жидкости при этом релаксируют медленно (большое τ_p), а магнитная релаксация протонов вызывается только пространственно-временными корреляциями частиц. Важно подчеркнуть, что скорость релаксации T_1^{-1} в этом случае совершенно не зависит от картины самодиффузии, а применение диффузационных моделей [3, 15, 19] приводит к резкому расхождению теории с экспериментом.

Таким образом, последовательный учет микроструктуры жидкости и межмолекулярных потенциальных взаимодействий приводит к существенному изменению и пересмотру картины молекулярного теплового движения молекул, про-

ТАБЛИЦА I
Релаксационные параметры ЯМР для жидкого метана (CH_4) ($D = 2,26 \text{ \AA}$) в модели твердых непроницаемых шаров

| T [K] | Спиновая плотность 10^{22} см^{-3} [8] | Коэффициент самодиф- фузии $D_s \times 10^5$ $\text{cm}^2/\text{сек}$ [8] | $G(n)$ | τ_p 10^{-14} сек | τ_c 10^{-12} сек | R_c \AA | Межмолекл. вклад в T_1^{-1} , сек^{-1} | | |
|------------|---|--|--------|------------------------------------|------------------------------------|-----------------------|--|------------------------|---------------|
| | | | | | | | d \AA | дифф. теория [8] | наш теория |
| 91 | 6,78 | 2,23 | 0,387 | 4,72 | 2,26 | 1,00 | 4,37 | 0,0580 | 0,0552 |
| 97 | 6,66 | 2,77 | 0,385 | 5,50 | 1,8 | 1,005 | 4,39 | 0,0460 | 0,0434 |
| 101 | 6,57 | 3,18 | 0,384 | 6,06 | 1,6 | 1,006 | 4,41 | 0,0394 | 0,0373 |
| 105 | 6,47 | 3,73 | 0,384 | 6,84 | 1,36 | 1,007 | 4,44 | 0,0332 | 0,0313 |
| 109 | 6,39 | 4,04 | 0,383 | 7,13 | 1,25 | 1,008 | 4,46 | 0,0304 | 0,02843 |

* В эксперименте [8] измерена лишь полная скорость релаксации протонов, разделение внутри- и межмолекулярного вклада в [8] произведено не было.

ТАБЛИЦА II
Релаксационные параметры ЯМР для различных жидкостей в модели твердых непроницаемых шаров: юлистый метил (CH_3I) ($D = 2,21 \text{ \AA}$),
юлистый метилен (CH_2I_2) ($D = 2,67 \text{ \AA}$) и ацетон ($(\text{CH}_3)_2\text{CO}$) ($D = 1,35 \text{ \AA}$)

| Жидкость | $t, [\text{^{\circ}C}]$ | Молекул. плотность 10^{22} см^{-3} [10, 12, 14] | $D_s \times 10^5$ $\text{см}^2/\text{сек}$ [10, 17] | τ_p 10^{-13} сек | τ_c 10^{-12} сек | R_c \AA | d \AA | Межмолекулярный вклад в $T_1^{-1}, \text{ нн, сек}^{-1}$ | |
|----------------------------|-------------------------|--|---|------------------------------------|------------------------------------|-----------------------|---------------------|---|--------------------|
| | | | | | | | | эксперимент [11, 12, 17, 18] | наш теория |
| CH_3I | 0 | 0,99 | 2,53 | 1,58 | 2,02 | 1,01 | 5,23 | 0,0215 | $0,0232 \pm 0,005$ |
| | 10 | 0,976 | 2,92 | 1,76 | 1,75 | 1,01 | 5,25 | 0,0184 | $0,0198 \pm 0,004$ |
| | 20 | 0,964 | 3,30 | 1,92 | 1,55 | 1,01 | 5,27 | 0,0161 | $0,0166 \pm 0,003$ |
| | 30 | 0,952 | 3,72 | 2,10 | 1,38 | 1,01 | 5,29 | 0,0140 | $0,0150 \pm 0,003$ |
| | 40 | 0,939 | 4,20 | 2,29 | 1,22 | 1,01 | 5,32 | 0,0123 | $0,0131 \pm 0,003$ |
| | | | | | | | | | |
| CH_2I_2 | 10 | 0,752 | | 0,48 | 1,74 | 1,21 | 5,73 | 0,0547 | $0,0548$ |
| | 30 | 0,740 | | 0,61 | 1,27 | 1,21 | 5,75 | 0,0393 | $0,0395$ |
| | 60 | 0,723 | | 0,92 | 0,77 | 1,21 | 5,80 | 0,0233 | $0,0239$ |
| | 80 | 0,714 | | 1,09 | 0,61 | 1,21 | 5,83 | 0,0187 | $0,0188$ |
| | 90 | 0,706 | | 1,24 | 0,53 | 1,21 | 5,85 | 0,0155 | $0,0159$ |
| | | | | | | | | | |
| $(\text{CH}_3)_2\text{CO}$ | 0 | 0,844 | 3,53 | | | | 5,51 | 0,0422 | $0,0410$ |
| | 10 | 0,833 | 4,05 | | | | 5,54 | 0,0363 | $0,0366$ |
| | 20 | 0,821 | 5,55 | 1,08 | 0,437 | 0,63 | 5,56 | 0,0316 | $0,0315$ |
| | 30 | 0,809 | 4,95 | 1,14 | 0,401 | 0,63 | 5,59 | 0,0285 | $0,0285$ |
| | 40 | 0,797 | 5,35 | 1,19 | 0,371 | 0,63 | 5,62 | 0,0260 | $0,0256$ |
| | 50 | 0,786 | 6,06 | | | | 5,64 | 0,023 | $0,0230$ |
| | 60 | 0,773 | 6,73 | | | | 5,67 | 0,0203 | $0,0210$ |
| | 70 | 0,761 | 7,65 | | | | 5,71 | 0,0175 | $0,0190$ |
| | 80 | 0,748 | 8,55 | | | | 5,74 | 0,0156 | $0,0176$ |

ТАБЛИЦА III
Релаксационные параметры ЯМР для жидкого этана (C_2H_6) ($D = 1,51 \text{ \AA}$) в модели твердых непроницаемых газов

| T [К] | Плотность $n,$ 10^{22} см^{-3} [14] | Время τ_p 10^{-13} сек | τ_c 10^{-12} сек | R_c \AA | d \AA | Скорость релаксации $T_{1,\text{н}-\text{н}}^{-1}, \text{сек}^{-1}$ | | |
|------------|--|--|------------------------------------|-----------------------|---------------------|---|----------------------|---|
| | | | | | | наша теория | эксперимент [17] | теория Хармона- -Мольнера [17] |
| 175 | 1,12 | 1,01 | 0,49 | 0,696 | 5,02 | 0,0360 | 0,0358 | 0,034 |
| 192 | 1,08 | 1,40 | 0,33 | 0,696 | 5,08 | 0,0247 | $0,026 \pm 0,002$ | 0,024 |
| 232 | 0,98 | 2,02 | 0,19 | 0,698 | 5,25 | 0,0128 | $0,01324 \pm 0,0007$ | 0,011 |
| 272,7 | 0,83 | 2,86 | 0,11 | 0,700 | 5,55 | 0,009 | $0,0083 \pm 0,0007$ | 0,005 |

являющейся в магнитной дипольной релаксации ядерных спинов в жидкостях. Наши оценки показывают, что различные варианты диффузионной теории заметно искажают реальную картину явления и приводят к физически некорректным значениям релаксационных параметров. Некорректность диффузионных моделей в ядерной релаксации спинов в жидкостях особенно отчётливо проявляется при анализе необычных температурных зависимостей, наблюдаемых для жидких металлов, полупроводников и сжижённых инертных газов, (см. например [2, 20]). Развитая здесь теория применима, практически, для любого межмолекулярного механизма релаксации ядерных спинов и позволяет учитывать эффекты межмолекулярных потенциальных взаимодействий.

ЛИТЕРАТУРА

- [1] Н. Н. Боголюбов, *Проблемы динамической теории в статистической физике*, ОГИЗ, М.—Л., 1946; М. Кац, *Вероятность и смежные вопросы в физике*, Мир, 1965; Дж. Уленбек, Дж. Форд, *Лекции по статистической механике*, Мир, 1965.
- [2] Р. М. Юльметьев, *TMФ* **30**, 264 (1977).
- [3] А. Abragam, *The Principles of Nuclear Magnetism*, University Press, Oxford/London 1961.
- [4] Р. М. Юльметьев, *Phys. Lett.* **56A**, 387 (1976).
- [5] M. S. Wertheim, *Phys. Lett.* **10**, 321 (1963).
- [6] E. Thiele, *J. Chem. Phys.* **39**, 475 (1963).
- [7] а) Н. П. Коваленко, И. З. Фишер, *УФН* **108**, 203 (1972); б) G. J. Throop, R. J. Beartmen, *J. Chem. Phys.* **42**, 2408 (1965); в) F. Mandel et al., *J. Chem. Phys.* **52**, 3315 (1970); г) W. R. Smith, D. Henderson, *Mol. Phys.* **39**, 411 (1970).
- [8] J. H. Rugheimer, P. S. Hubbard, *J. Chem. Phys.* **39**, 552 (1963); M. Bloom, H. S. Sandhu, *Canad. J. Phys.* **40**, 289 (1962).
- [9] H. S. Sandhu, *J. Magn. Resonance* **17**, 34 (1975); J. V. Gaven, J. S. Waugh, W. H. Stockmayer, *J. Chem. Phys.* **38**, 287 (1963).
- [10] H. S. Sandhu, *J. Magn. Resonance* **17**, 34 (1975).
- [11] K. T. Gillen et al., *Mol. Phys.* **20**, 889 (1971).
- [12] H. S. Sandhu, *J. Chem. Phys.* **51**, 2452 (1969).
- [13] H. S. Sandhu, H. Peemoeler, *J. Magn. Resonance* **21**, 349 (1976).
- [14] Н. Б. Варгафтик, *Справочник по теплофизическим свойствам газов и жидкостей*, Физматгиз, 1963, 1972; *Теплофизические свойства вещества*, под ред. Н. Б. Варгафтика, ГЭИ, М., 1956.
- [15] H. C. Torrey, *Phys. Rev.* **92**, 962 (1953); **96**, 690 (1954).
- [16] P. S. Hubbard, *Phys. Rev.* **131**, 275 (1963); *Proc. Roy. Soc. A* **291**, 537 (1966).
- [17] Н. К. Гайсин, *Журн. Структ. Химии* **12**, 324 (1971); D. E. O'Reilly, E. M. Peterson, *J. Chem. Phys.* **55**, 2155 (1971).
- [18] G. Bonera, A. Rigamonti, *J. Chem. Phys.* **42**, 171 (1965); M. D. Zeidler, *Ber. Bunsenges. Phys. Chem.* **69**, 659 (1965).
- [19] L. F. Harmon, B. H. Müller, *Phys. Rev.* **182**, 400 (1969); Lian-Pin Hwang, J. H. Freed, *J. Chem. Phys.* **63**, 4017 (1975).
- [20] Р. М. Юльметьев, *Журн. Структ. Химии* **12**, 554 (1971).